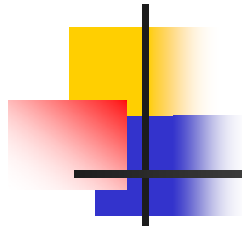




Corso di Comunicazioni Digitali

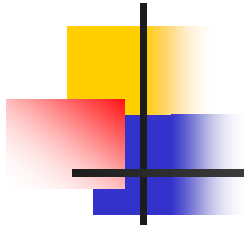
7 – MODULAZIONI ANALOGICHE E DIGITALI

Prof. Giovanni Schembra



Struttura della lezione

- **Inviluppo complesso e segnali modulati (→)**
- **Modulazione di ampiezza (→)**
 - AM, a banda laterale unica (DSB-SC), a banda laterale unica (SSB), a banda laterale unica (VSB)
- **Modulazione d'angolo (→)**
 - Modulazione di frequenza (FM)
 - Modulazione di fase (PM)



INTRODUZIONE ALLA TEORIA DELLA MODULAZIONE



Definizioni

- **Segnale in banda passante (o passa-banda):**
 - segnale con spettro di ampiezza diverso da zero su di una certa banda nell'intorno di una frequenza $f = \pm f_c$, chiamata **frequenza portante**
- **Modulazione:**
 - Processo mediante il quale l'informazione è impressa su di un segnale sinusoidale *portante* con frequenza f_c , attraverso l'introduzione di una qualche variazione nell'ampiezza, nella fase o su entrambe
- **Segnale modulante:**
 - Segnale originale prima della modulazione
- **Segnale modulato:**
 - Segnale ottenuto dopo la modulazione
- **Segnale portante:**
 - Sinusoide modulata in ampiezza e/o fase dal segnale modulante

 $m(t)$ $s(t)$ $p(t)$

Rappresentazione di un segnale mediante l'involuppo complesso

■ Teorema fondamentale delle modulazioni:

- un qualunque **segnale $v(t)$ in banda passante** può essere rappresentato come:

$$v(t) = \text{Re}\{g(t) e^{j\omega_c t}\}$$

BANDA BASE --> BANDA PASSANTE

dove:

$g(t)$

involuppo complesso di $v(t)$

$g(t)$ è in banda base

f_c

frequenza portante di $v(t)$

$$\omega_c = 2\pi f_c$$



Rappresentazione dei segnali modulati

- **Modulazione:**

- Processo mediante il quale l'informazione è impressa su di un segnale sinusoidale *portante* con frequenza f_c , attraverso l'introduzione di una qualche variazione nell'ampiezza, nella fase o su entrambe

- **Segnale modulato:**

$$s(t) = \text{Re}\{g(t) e^{j\omega_c t}\}$$

$$\omega_c = 2\pi f_c$$

f_c : frequenza portante

- **L'involuppo complesso $g(t)$ è una funzione del segnale modulante $m(t)$:**

$$g(t) = g[m(t)]$$

- **Dalla funzione $g[]$ dipende il tipo di modulazione che si applica (es.: AM, FM, PM)**



Esempio: Modulazione in ampiezza (AM)

- **Inviluppo complesso di un segnale AM:**

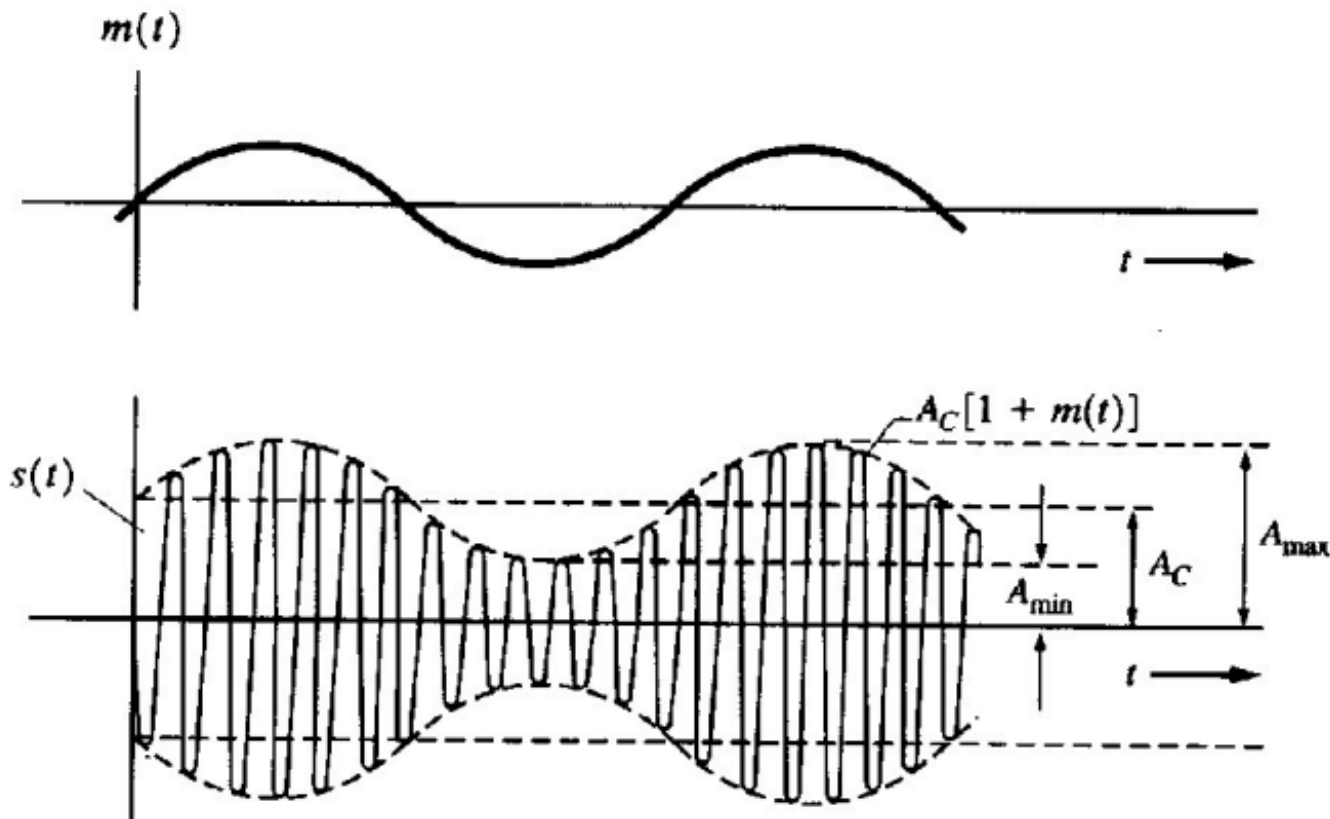
$$g(t) = A_c [1 + m(t)]$$

- **La costante A_c determina il livello di potenza**
- **Il segnale $m(t)$ è il **segnale modulante** (analogico o digitale)**
- **Il **segnale modulato AM** è quindi:**

$$s(t) = \operatorname{Re}\{g(t) e^{j\omega_c t}\} \quad \longrightarrow \quad s(t) = A_c [1 + m(t)] \cos \omega_c t$$

Esempio: Modulazione in ampiezza (AM)

AM: $g(t) = A_c [1 + m(t)] \rightarrow s(t) = A_c [1 + m(t)] \cos \omega_c t$



Inviluppo complesso per varie forme di modulazione (modulazioni in QUADRATURA)

Tipo di modulazione	Mappa $g(m)$	Corrispondenti modulazioni in quadratura	
		$x(t)$	$y(t)$
AM	$A_c[1 + m(t)]$	$A_c[1 + m(t)]$	0
DSB-SC	$A_c m(t)$	$A_c m(t)$	0
PM	$A_c e^{jD_p m(t)}$	$A_c \cos[D_p m(t)]$	$A_c \sin[D_p m(t)]$
FM	$A_c e^{jD_f \int_{-\infty}^t m(\sigma) d\sigma}$	$A_c \cos \left[D_f \int_{-\infty}^t m(\sigma) d\sigma \right]$	$A_c \sin \left[D_f \int_{-\infty}^t m(\sigma) d\sigma \right]$
SSB-AM-SC ^b	$A_c[m(t) \pm j\hat{m}(t)]$	$A_c m(t)$	$\pm A_c \hat{m}(t)$
SSB-PM ^b	$A_c e^{jD_p[m(t) \pm j\hat{m}(t)]}$	$A_c e^{\mp D_p \hat{m}(t)} \cos[D_p m(t)]$	$A_c e^{\mp D_p \hat{m}(t)} \sin[D_p m(t)]$
SSB-FM ^b	$A_c e^{jD_f \int_{-\infty}^t [m(\sigma) \pm j\hat{m}(\sigma)] d\sigma}$	$A_c e^{\mp D_f \int_{-\infty}^t \hat{m}(\sigma) d\sigma} \cos \left[D_f \int_{-\infty}^t m(\sigma) d\sigma \right]$	$A_c e^{\mp D_f \int_{-\infty}^t \hat{m}(\sigma) d\sigma} \sin \left[D_f \int_{-\infty}^t m(\sigma) d\sigma \right]$
SSB-EV ^b	$A_c e^{\{\ln[1+m(t)] \pm j\hat{\ln}[1+m(t)]\}}$	$A_c[1 + m(t)] \cos\{\hat{\ln}[1 + m(t)]\}$	$\pm A_c[1 + m(t)] \sin\{\hat{\ln}[1 + m(t)]\}$
SSB-SQ ^b	$A_c e^{(1/2) \{\ln[1+m(t)] \pm j\hat{\ln}[1+m(t)]\}}$	$A_c \sqrt{1 + m(t)} \cos\{\frac{1}{2} \hat{\ln}[1 + m(t)]\}$	$\pm A_c \sqrt{1 + m(t)} \sin\{\frac{1}{2} \hat{\ln}[1 + m(t)]\}$
QM	$A_c[m_1(t) + jm_2(t)]$	$A_c m_1(t)$	$A_c m_2(t)$

^a $A_c > 0$ è una costante che fissa il livello di potenza del segnale

L, lineare; NL, non lineare;

$[\hat{\cdot}]$ indica la trasformata di Hilbert (ovvero la versione ruotata di -90° di $[\cdot]$)

Inviluppo complesso per varie forme di modulazione (modulazioni in AMPIEZZA E FASE)

Corrispondenti modulazioni
di ampiezza e fase

L, lineare; NL, non lineare;

Tipo di modulazione	$R(t)$	$\theta(t)$	Linearità
AM	$A_c 1 + m(t) $	$\begin{cases} 0, & m(t) > -1 \\ 180^\circ, & m(t) < -1 \end{cases}$	L
DSB-SC	$A_c m(t) $	$\begin{cases} 0, & m(t) > 0 \\ 180^\circ, & m(t) < 0 \end{cases}$	L
PM	A_c	$D_p m(t)$	NL
FM	A_c	$D_f \int_{-\infty}^t m(\sigma) d\sigma$	NL
SSB-AM-SC ^b	$A_c \sqrt{[m(t)]^2 + [\hat{m}(t)]^2}$	$\tan^{-1}[\pm \hat{m}(t)/m(t)]$	L
SSB-PM ^b	$A_c e^{\pm D_p \hat{m}(t)}$	$D_p m(t)$	NL
SSB-FM ^b	$A_c e^{\pm D_f \int_{-\infty}^t \hat{m}(\sigma) d\sigma}$	$D_f \int_{-\infty}^t m(\sigma) d\sigma$	NL
SSB-EV ^b	$A_c 1 + m(t) $	$\pm \ln[1 + m(t)]$	NL
SSB-SQ ^b	$A_c \sqrt{1 + m(t)}$	$\pm \frac{1}{2} \ln[1 + m(t)]$	NL
QM	$A_c \sqrt{m_1^2(t) + m_2^2(t)}$	$\tan^{-1}[m_2(t)/m_1(t)]$	L

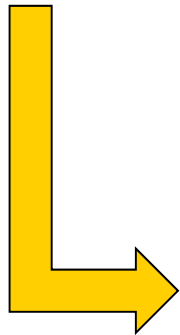


Spettro dei segnali in banda passante

- **Lo spettro di un segnale in banda passante può essere ricavato direttamente da quello del suo inviluppo complesso**

- **Teorema:**

- dato un segnale in banda passante nella forma: $v(t) = \text{Re}\{g(t)e^{j\omega_c t}\}$



Spettro bilatero (per i segnali analogici)

$$V(f) = \frac{1}{2} [G(f - f_c) + G^*(-f - f_c)]$$

Densità spettrale di potenza (per i segnali digitali)

$$\mathcal{P}_v(f) = \frac{1}{4} [\mathcal{P}_g(f - f_c) + \mathcal{P}_g(-f - f_c)]$$

Potenza dei segnali in banda passante

- **Potenza media totale normalizzata:**

$$P_v = \langle v^2(t) \rangle = \frac{1}{2} \langle |g(t)|^2 \rangle = \frac{1}{2} P_g$$

- **Potenza di picco dell'involuppo (PEP - Peek Envelope Power):**

- potenza media che si otterrebbe se $|g(t)|$ fosse mantenuto al suo valore di picco
- è equivalente a valutare la potenza media di un segnale sinusoidale a RF, non modulato, con valore di picco pari a:

$$v(t) = R(t) \cos[\omega_c t + \theta(t)]$$

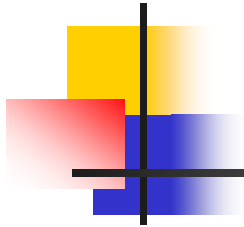


$$A_p = \max[v(t)]$$

- **Teorema: la potenza normalizzata di picco dell'involuppo è:**

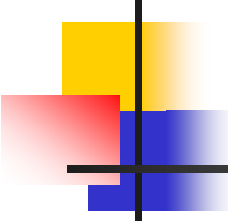
$$P_{PEP} = \frac{1}{2} [\max |g(t)|]^2$$

Nota: la P_{PEP} viene utilizzata per fornire le specifiche di un apparato trasmettitore



MODULAZIONI D'AMPIEZZA

- **MODULAZIONE AM DSB**
- **MODULAZIONE AM DSB-SC**
- **MODULAZIONI AM SSB (USSB E LSSB)**
- **MODULAZIONE AM VESTIGIALE**



Modulazione di ampiezza (AM - Amplitude Modulation)

- Dato un segnale $x(t)$, applichiamo un fattore moltiplicativo M per portarlo a valori compresi nell'intervallo $[-1, +1]$:

$$m(t) = M \cdot x(t) \quad \text{Segnale modulante}$$

- Involuppo complesso di un segnale AM:

$$g(t) = A_c [1 + m(t)]$$

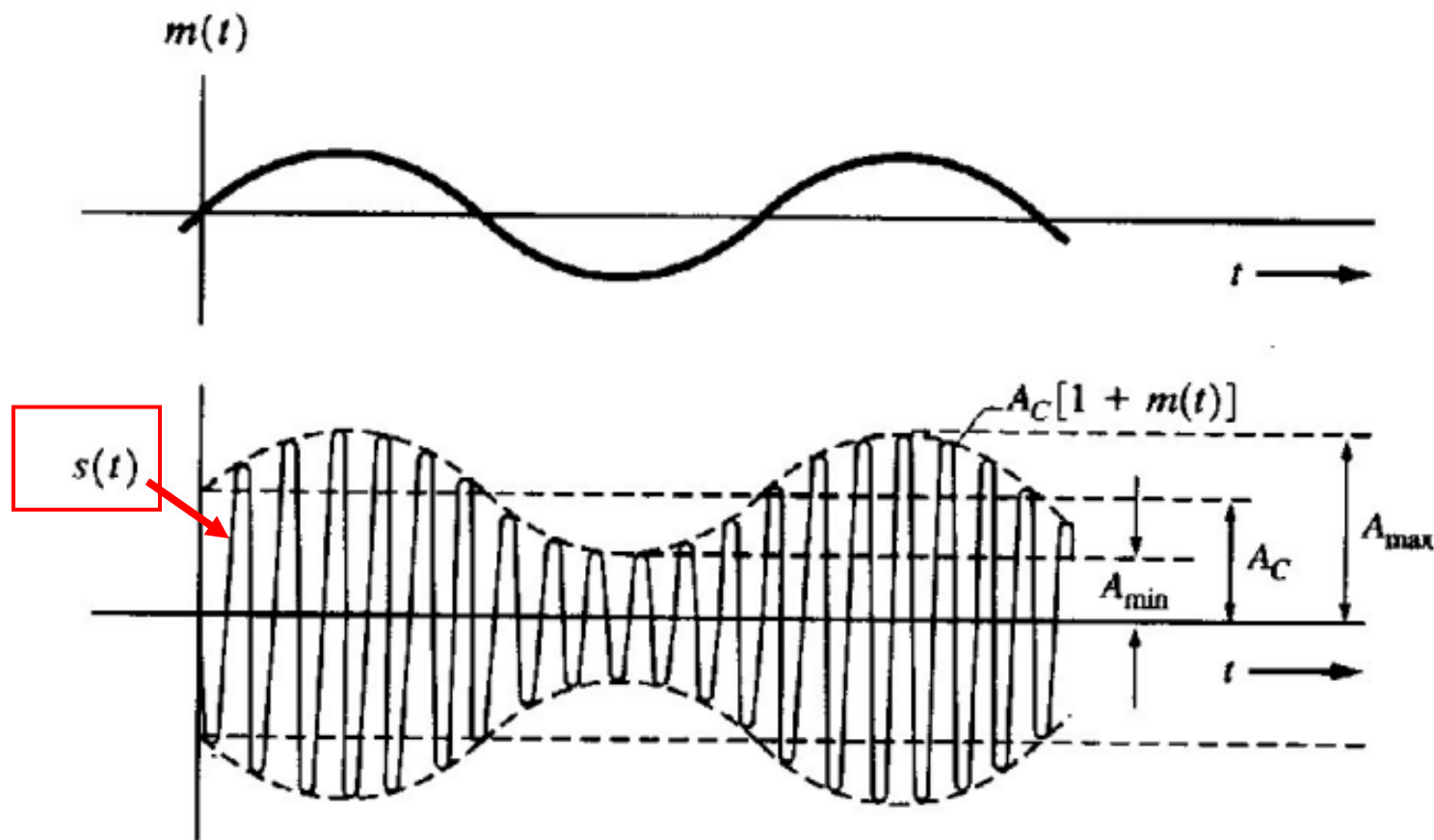
- La costante A_c determina il livello di potenza
- Il segnale $m(t)$ è il **segnale modulante** (analogico o digitale)
- Il **segnale modulato AM** è quindi:

$$s(t) = \text{Re}\{g(t) \cdot e^{j\omega_c t}\} = A_c [1 + m(t)] \cdot \text{Re}\{e^{j\omega_c t}\}$$

$$\longrightarrow s(t) = A_c [1 + m(t)] \cos \omega_c t$$

Modulazione di ampiezza (AM DSB)

Amplitude Modulation – Double Side band



(b) Segnale AM risultante

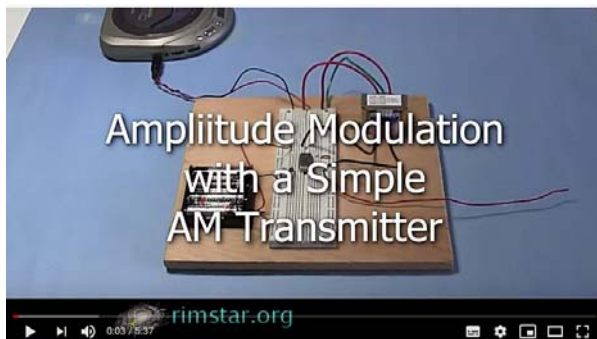
Profondità di modulazione

- **Ipotesi:**

$$-1 \leq m(t) \leq 1$$

NOTA: $\begin{cases} \min\{m(t) = -1\} \\ \max\{m(t) = +1\} \end{cases}$

contemporaneamente solo se il picco positivo e quello negativo del segnale prima della normalizzazione sono simmetrici rispetto all'asse x



<https://www.youtube.com/watch?v=R04yEKqgGPc>

Profondità di modulazione

■ Definizioni:

- **Profondità di modulazione positiva:**

$$\% \text{ modulazione positiva} = \frac{A_{\max} - A_c}{A_c} \cdot 100 = \max[m(t)] \cdot 100$$

- **Profondità di modulazione negativa:**

$$\% \text{ modulazione negativa} = \frac{A_c - A_{\min}}{A_c} \cdot 100 = -\min[m(t)] \cdot 100$$

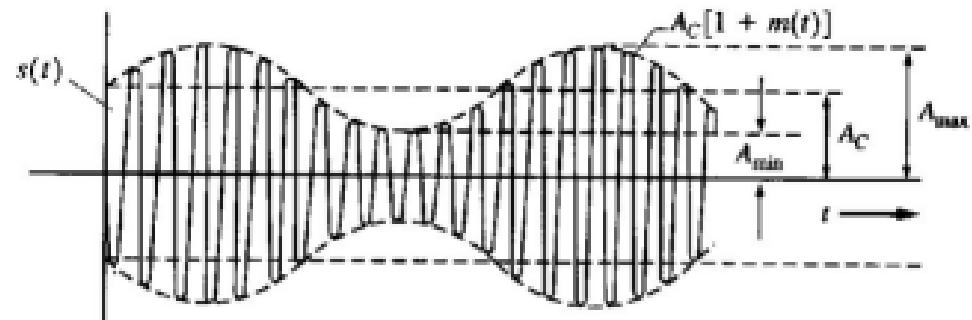
- **Profondità di modulazione totale:**

$$\% \text{ modulazione} = \frac{A_{\max} - A_{\min}}{2A_c} \cdot 100 = \frac{\max[m(t)] - \min[m(t)]}{2} \cdot 100$$

dove: A_{\max} : massimo di $A_c[1 + m(t)]$

A_{\min} : minimo di $A_c[1 + m(t)]$

A_c : livello di inviluppo AM in assenza di modulazione, cioè per $m(t) = 0$





Spettro bilatero di un segnale modulato in ampiezza

Ricaviamo lo spettro di potenza di un segnale modulato in ampiezza (AM). Dalla Tabella 4-1, l'involuppo complesso di un segnale AM è

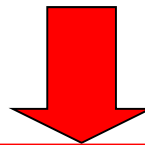
$$g(t) = A_c[1 + m(t)]$$

e quindi il suo spettro è dato da

$$G(f) = A_c \delta(f) + A_c M(f) \quad (4-19)$$

$m(t)$ è reale, allora $M^*(f) = M(-f)$

$\delta(f) = \delta(-f)$ (la funzione delta è pari per definizione).



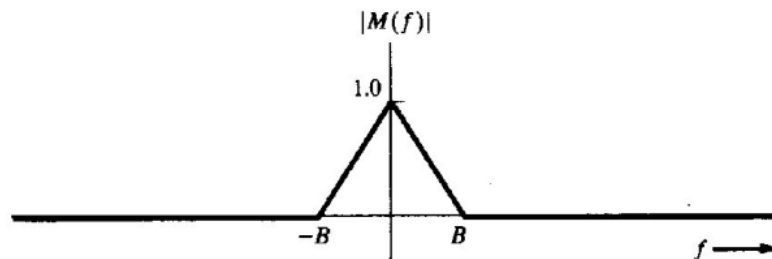
$$S(f) = \frac{1}{2} [G(f - f_c) + G^*(-f - f_c)]$$

$$S(f) = \frac{1}{2} A_c [\delta(f - f_c) + M(f - f_c) + \delta(f + f_c) + M(f + f_c)] \quad (4-20a)$$

Spettro bilatero di un segnale modulato in ampiezza

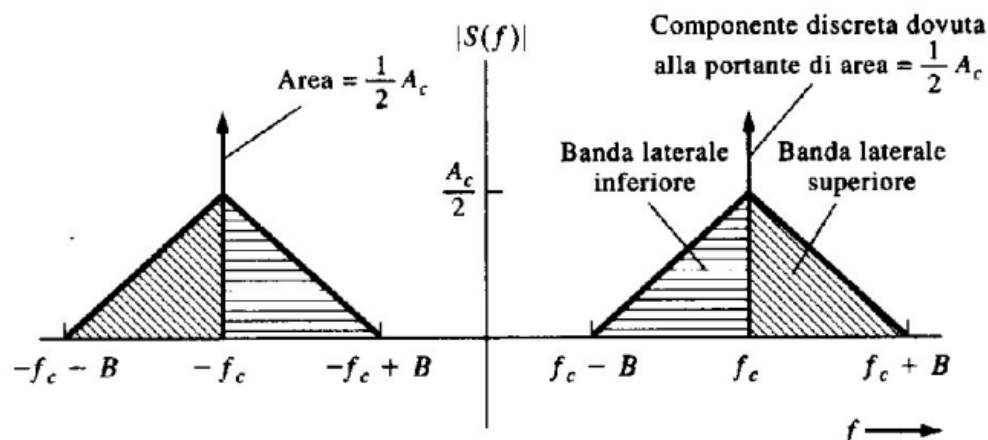
$$S(f) = \frac{1}{2} A_c [\delta(f - f_c) + M(f - f_c) + \delta(f + f_c) + M(f + f_c)] \quad (4-20a)$$

Esempio: Supponiamo che lo spettro di ampiezza del segnale modulante sia una funzione triangolare, come mostrato in Figura 4-2a. Tale spettro potrebbe essere generato ad esempio da una sorgente audio analogica con un forte contenuto di basse frequenze.



ESEMPIO:
Modulante con
spettro triangolare

Lo spettro del segnale AM risultante dalla (4-20) è mostrato in Figura 4-2b.





Spettro bilatero di un segnale modulato in ampiezza

$$S(f) = \frac{1}{2} A_c [\delta(f - f_c) + M(f - f_c) + \delta(f + f_c) + M(f + f_c)] \quad (4-20a)$$

Visto che $G(f - f_c)$ e $G^*(-f - f_c)$ non si sovrappongono, lo spettro di ampiezza è

$$|S(f)| = \begin{cases} \frac{1}{2} A_c \delta(f - f_c) + \frac{1}{2} A_c |M(f - f_c)|, & f > 0 \\ \frac{1}{2} A_c \delta(f + f_c) + \frac{1}{2} A_c |M(-f - f_c)|, & f < 0 \end{cases} \quad (4-20b)$$

Il termine 1 in $g(t) = A_c[1 + m(t)]$ determina la presenza della funzione delta nello spettro in corrispondenza di $f = \pm f_c$, dove f_c è la frequenza portante assegnata.

Potenza media normalizzata del segnale AM

■ Potenza media normalizzata:

$$\langle s^2(t) \rangle = \frac{1}{2} \langle |g(t)|^2 \rangle = \frac{1}{2} A_c^2 \langle [1 + m(t)]^2 \rangle = \frac{1}{2} A_c^2 \langle 1 + 2m(t) + m^2(t) \rangle \quad \longrightarrow$$

$$\longrightarrow \langle s^2(t) \rangle = \frac{1}{2} A_c^2 + A_c^2 \langle m(t) \rangle + \frac{1}{2} A_c^2 \langle m^2(t) \rangle$$

Se il segnale modulante ha valor medio nullo [$\langle m(t) \rangle = 0$]

$$\longrightarrow \langle s^2(t) \rangle = \frac{1}{2} A_c^2 + \frac{1}{2} A_c^2 \langle m^2(t) \rangle$$

potenza della portante

potenza delle bande laterali

NOTA: non è un caso generale, ma solo un esempio

Efficienza di modulazione e potenza di picco

■ Definizione: Efficienza di modulazione

- Rapporto percentuale tra la potenza del segnale modulato che trasporta l'informazione e la potenza totale

■ In un segnale AM:

- solo la componente di segnale legata alle bande laterali trasporta informazione; quindi l'efficienza di modulazione risulta:

$$\eta_{\text{mod}} = \frac{\langle s_{\text{UTILE}}^2(t) \rangle}{\langle s^2(t) \rangle} = \frac{\frac{1}{2} A_c^2 \langle m^2(t) \rangle}{\frac{1}{2} A_c^2 + \frac{1}{2} A_c^2 \langle m^2(t) \rangle}$$



$$\eta_{\text{mod}} = \frac{\langle m^2(t) \rangle}{1 + \langle m^2(t) \rangle} \cdot 100\%$$

■ Nota:

- Il valore massimo di efficienza raggiungibile (nel caso irrealistico di segnale costante pari a 1) è il 50%. Dunque l'efficienza è sempre < 50%

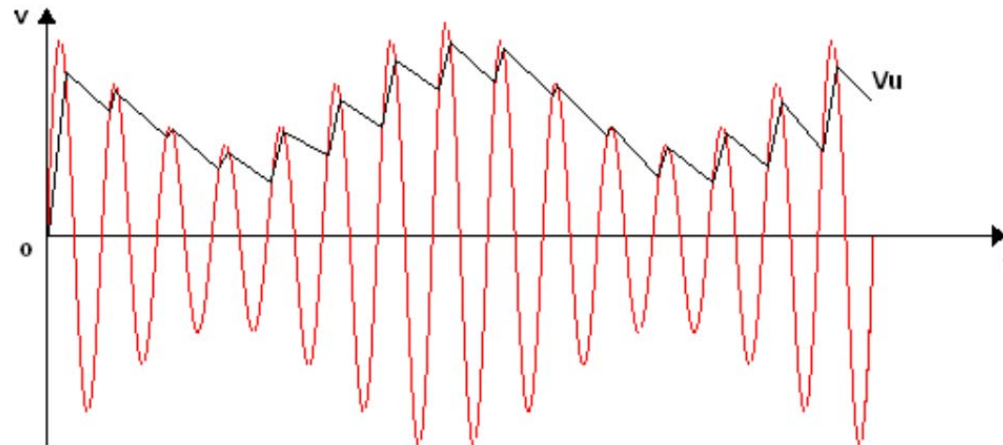
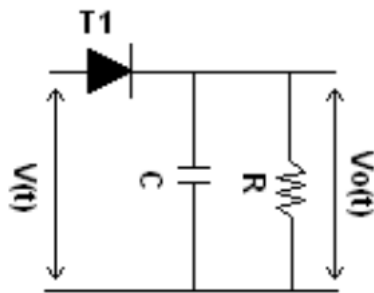
■ Potenza di picco del segnale AM:

$$P_{\text{PEP}} = \frac{1}{2} [\max |g(t)|]^2$$



$$P_{\text{PEP}} = \frac{A_c^2}{2} \{1 + \max[m(t)]\}^2$$

Demodulatore a inviluppo



- La demodulazione si realizza con un rivelatore di inviluppo a diodo
- È un sistema molto economico, e molto efficiente nelle trasmissioni AM broadcast, dove i ricevitori sono molti e acquistati dagli utenti
- Funziona solo se l'inviluppo superiore è un segnale sempre positivo. Questo è garantito nella AM DSB-SC dal valore 1 che si trova nell'inviluppo complesso

$$g(t) = A_c [1 + m(t)]$$

Modulazione AM a doppia banda laterale con portante soppressa (DSB-SC)

■ Double Side Band - Suppressed Carrier (DSB-SC):

- segnale AM senza portante

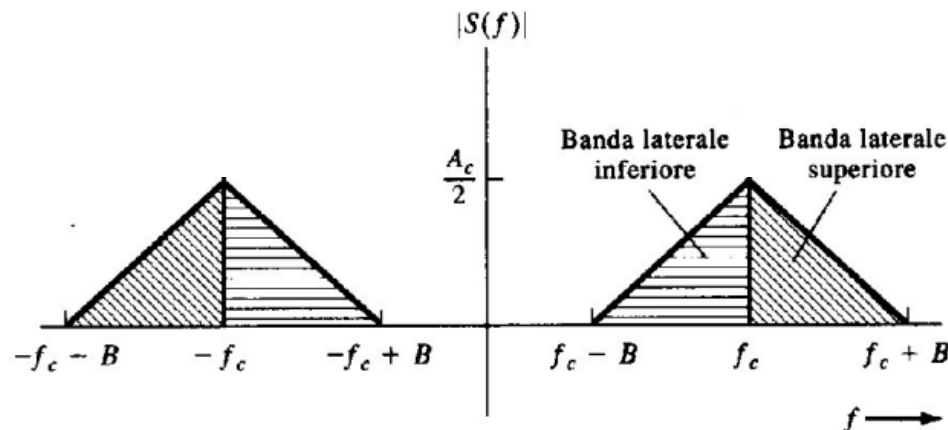
$$g(t) = A_c m(t)$$

$$s(t) = A_c m(t) \cos \omega_c t$$

- Spettro:

$$S(f) = \frac{A_c}{2} [M(f - f_c) + M(f + f_c)]$$

come quello della modulazione AM, ma senza le funzioni delta in $-f_c$ e $+f_c$

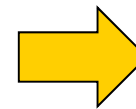


ESEMPIO:
Modulante con
spettro triangolare

Modulazione AM a doppia banda laterale con portante soppressa (DSB-SC)

■ Rispetto al segnale AM:

$$P_s = \langle s^2(t) \rangle = \frac{1}{2} \langle g^2(t) \rangle = \frac{1}{2} A_c^2 \langle m^2(t) \rangle = \frac{1}{2} A_c^2 P_m$$



$$P_s = \frac{1}{2} A_c^2 P_m$$

- Efficienza di modulazione: 100%

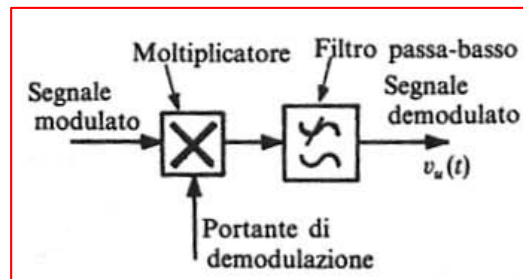


non si ha nessuna aliquota di potenza in componenti discrete (nella portante)

- Demodulazione: rivelatore sincrono



più costoso di quello di involuppo



Rivelatore sincrono



Modulazione AM a banda laterale unica (SSB-AM)

- **Definizione:**

- **segnale a banda laterale superiore** (USSB - Upper Single Side Band)

$$S(f) = 0 \quad \text{per } |f| < f_c$$

- **segnale a banda laterale inferiore** (LSSB - Lower Single Side Band)

$$S(f) = 0 \quad \text{per } |f| > f_c$$

- **Ci sono varie trasformazioni $g[m]$ per costruire un segnale SSB a partire dal segnale modulante $m(t)$**

- Usata in ambito militare e dai radioamatori nei sistemi HF (*High Frequency*)
- La banda del segnale SSB-AM è metà di quella dei segnali AM e DSB-SC

Modulazione AM a banda laterale unica (SSB-AM)

■ Single Side Band - AM (SSB-AM):

- inviluppo complesso:

$$g(t) = A_c [m(t) \pm j \hat{m}(t)]$$

Segno +



USSB

Segno -



LSSB

- segnale modulato in banda base:

$$s(t) = A_c [m(t) \cos \omega_c t \mp \hat{m}(t) \sin \omega_c t]$$

■ Trasformata di Hilbert

$\hat{m}(t)$ **Trasformata di Hilbert** di $m(t)$

Sfasatore puro di 90°

$$\hat{m}(t) = m(t) * h(t)$$

dove:

$$h(t) = \frac{1}{\pi t}$$

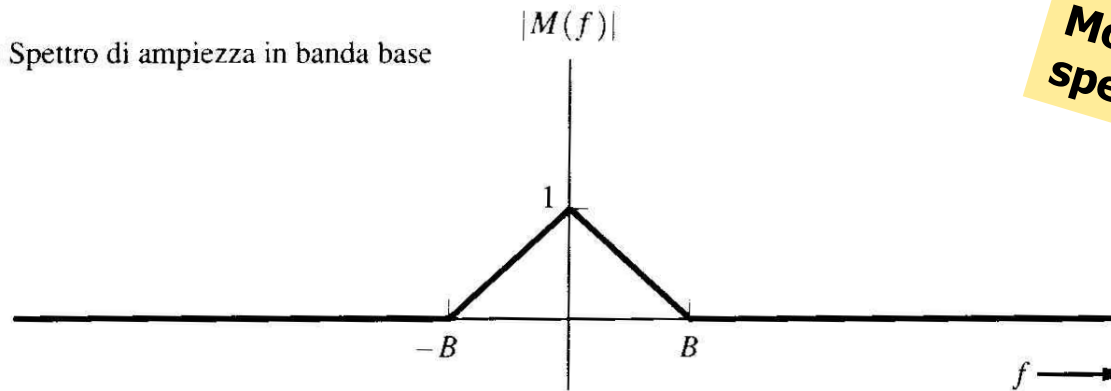


$$H(f) = \mathfrak{I}\{h(t)\} = \begin{cases} -j & f > 0 \\ j & f < 0 \end{cases}$$

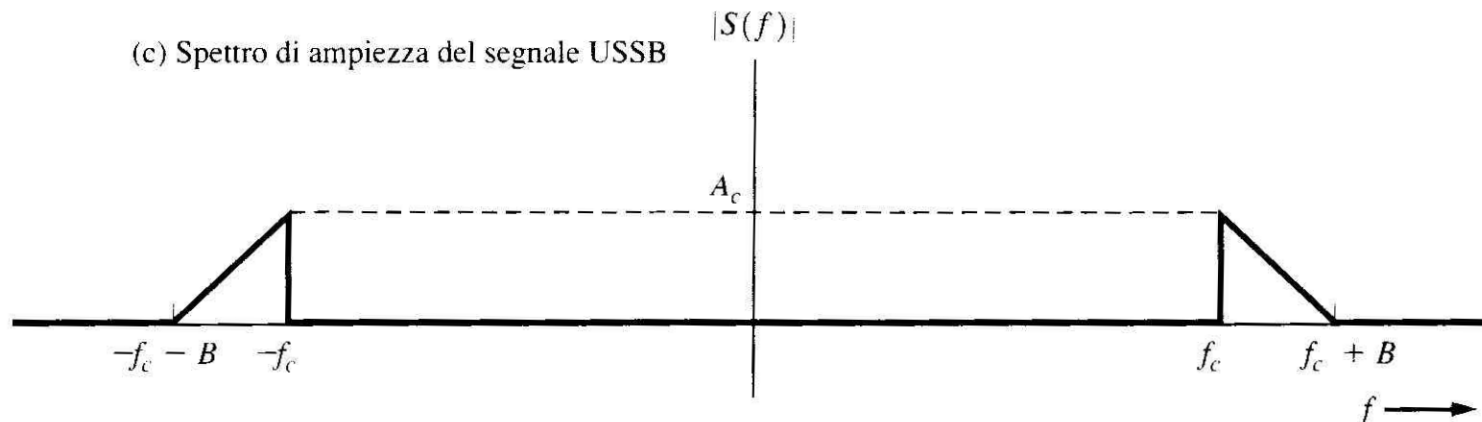
Modulazione SSB-AM: spettro di ampiezza di un segnale USSB

ESEMPIO:
Modulante con
spettro triangolare

(a) Spettro di ampiezza in banda base



(c) Spettro di ampiezza del segnale USSB





Modulazione AM a banda laterale unica (SSB-AM)

■ Potenza media normalizzata

$$P_s = \langle s^2(t) \rangle = A_c^2 P_m$$

- cioè: la potenza del segnale SSB è quella del segnale modulante moltiplicata per il guadagno

■ Potenza normalizzata di picco

$$\frac{1}{2} \max \{ |g(t)|^2 \} = \frac{1}{2} A_c^2 \max \{ m^2(t) + \hat{m}^2(t) \} \quad \longrightarrow \quad P_{PEP} = A_c^2$$



Modulazione AM a banda laterale unica (SSB-AM)

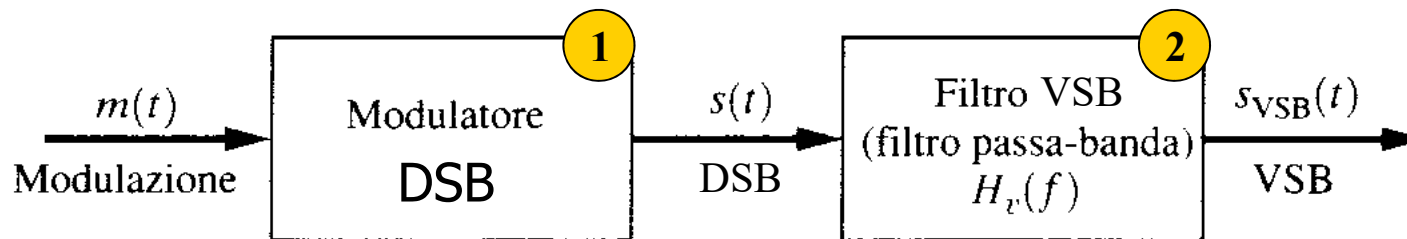
■ **Vantaggi:**

- Il segnale SSB-AM necessita di una banda dimezzata rispetto a quella di un segnale AM o DSB-SC
- Fornisce un rapporto segnale-rumore all'uscita del ricevitore superiore a quello di un sistema AM, e uguale a quello del DSB-SC

■ **Svantaggi:**

- Il modulatore e il demodulatore sono di più difficile realizzazione rispetto al DSB-SC e, soprattutto, dell'AM

Modulazione a banda laterale vestigiale (o residua) - VSB



■ Segnale VSB:

$$s_{VSB}(t) = s(t) * h_v(t)$$

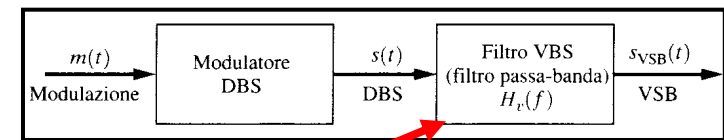
risposta impulsiva del filtro vestigiale

segnale (AM oppure DSB-SC)

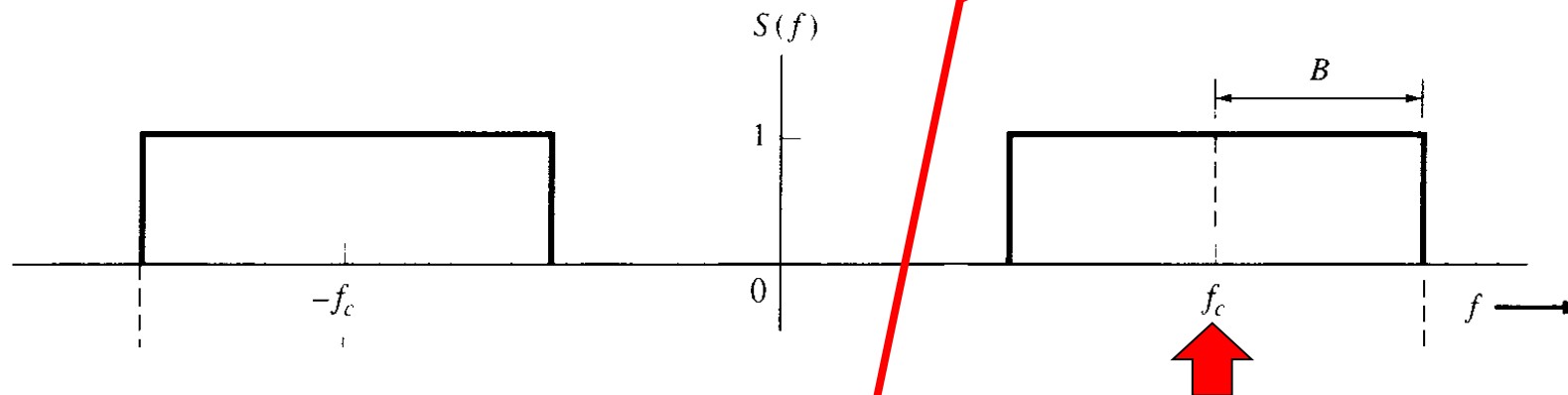
■ Spettro del segnale VSB:

$$S_{VSB}(f) = S(f)H_v(f)$$

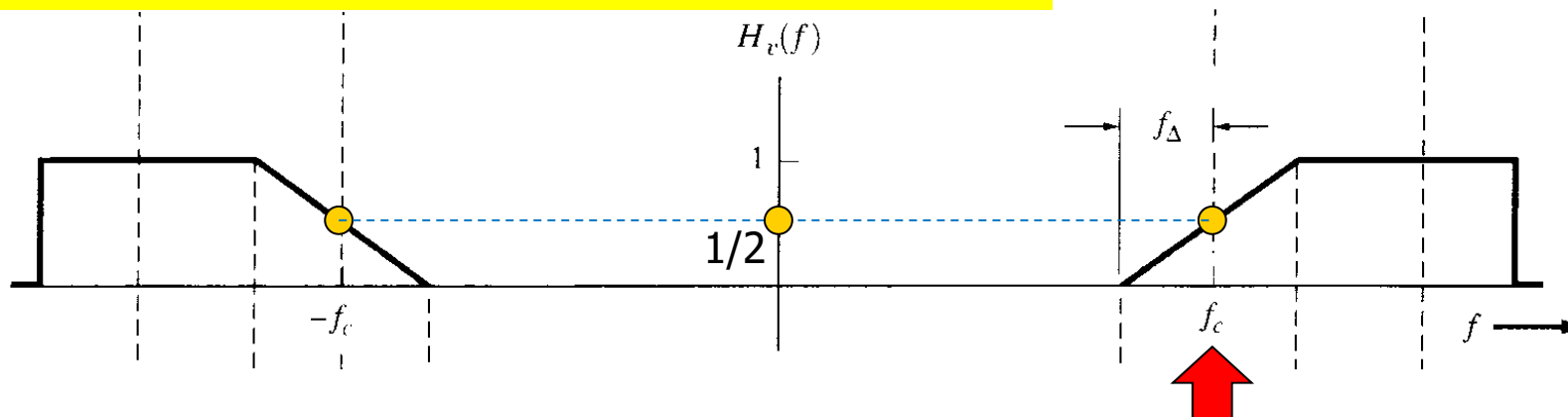
Spettri dei segnali nella modulazione vestigiale



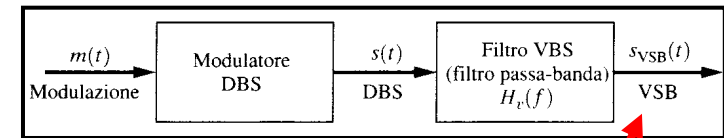
Spettro bilatero del segnale DSB-SC



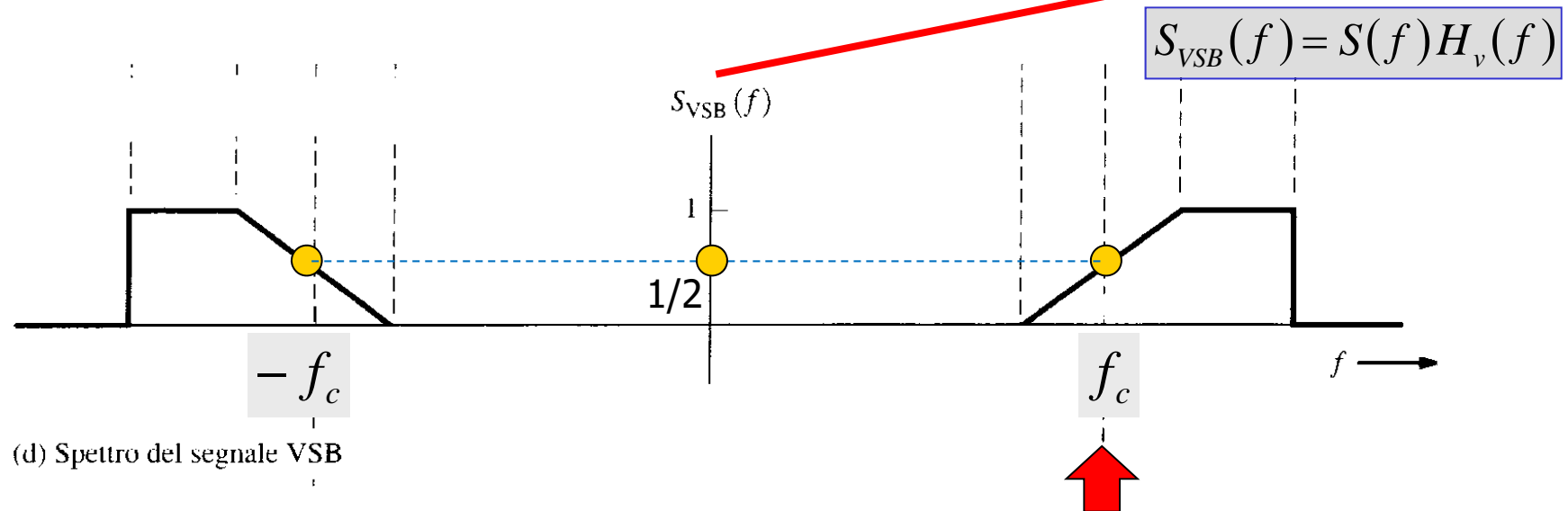
Risposta in frequenza del FILTRO VESTIGIALE



Spettri dei segnali nella modulazione vestigiale

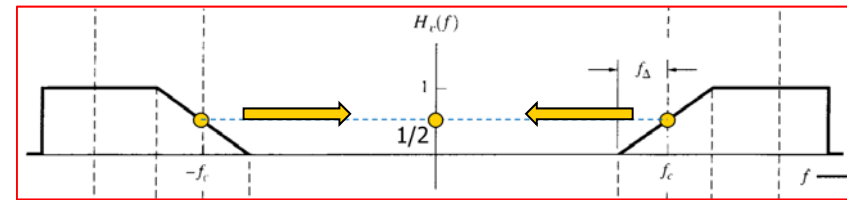


SEGNALE MODULATO CON MODULAZIONE VESTIGIALE



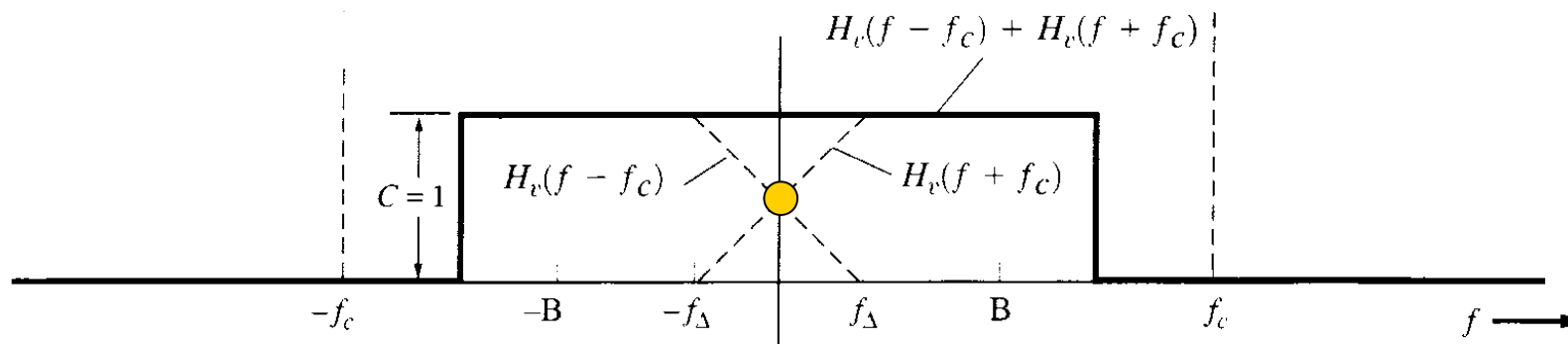
Attenzione: nel punto evidenziato con il cerchietto, centrato sulla frequenza portante, la funzione vale 1/2

Demodulazione di un segnale vestigiale

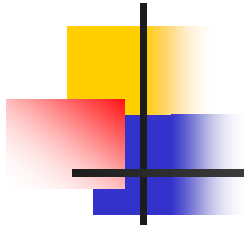


- **Il demodulatore può essere:**
 - Sincrono se il segnale d'ingresso è DSB-SC
 - Rivelatore d'involuppo, se è presente la portante con un livello sufficiente
- **Vincolo per non avere distorsione sul segnale demodulato:**
 - Il filtro vestigiale deve essere tale che:

$$H_v(f - f_c) + H_v(f + f_c) = C \quad \forall |f| \leq B$$



(e) Proprietà di simmetria vestigiale



MODULAZIONI D'ANGOLO

- **MODULAZIONE DI FASE**
- **MODULAZIONE DI FREQUENZA**



Modulazione d'angolo

■ Modulazione d'angolo (o angolare)

- Inviluppo complesso:

$$g(t) = A_c e^{j\theta(t)}$$

- Il modulo dell'inviluppo complesso è costante $R(t) = |g(t)| = A_c$
- La fase è funzione del segnale modulante $m(t)$
- Complessivamente $g(t)$ è una funzione non lineare del segnale modulante $m(t)$
- Il segnale modulato in angolo risulta:

$$s(t) = \operatorname{Re}\{g(t) e^{j\omega_c t}\} \longrightarrow s(t) = A_c [\cos(\omega_c t + \theta(t))]$$

- La modulazione di fase e la modulazione di frequenza sono due casi particolari di modulazione angolare



Modulazione di fase e di frequenza

■ Modulazione di fase (PM - Phase Modulation)

- la fase istantanea dell'involuppo complesso è proporzionale al segnale modulante:

$$\theta(t) = D_p m(t)$$

- la costante D_p :
 - sensibilità di fase del modulatore (oppure costante di deviazione di fase)
 - misurata rad/V, se il segnale $s(t)$ è una tensione

■ Modulazione di frequenza (FM - Frequency Modulation)

- la fase istantanea dell'involuppo complesso è proporzionale all'integrale del segnale modulante:

$$\theta(t) = D_f \int_{-\infty}^t m(\sigma) d\sigma$$

- la costante D_f :
 - sensibilità di frequenza (oppure costante di deviazione di frequenza)
 - misurata (rad/s)/V, se il segnale $s(t)$ è una tensione

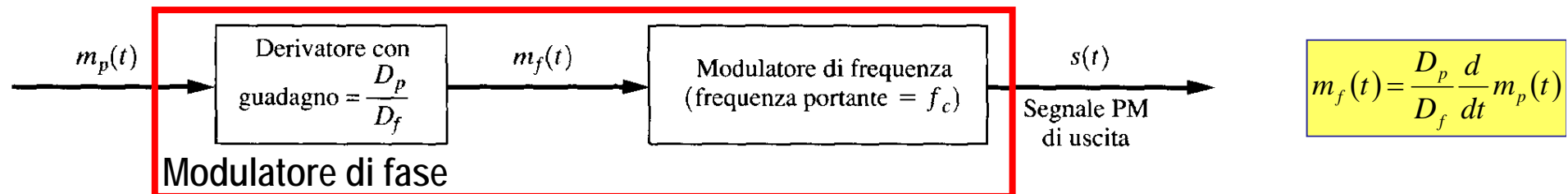
Relazione PM / FM

PM: $\theta(t) = D_p m_p(t)$

FM: $\theta(t) = D_f \int_{-\infty}^t m_f(\sigma) d\sigma$

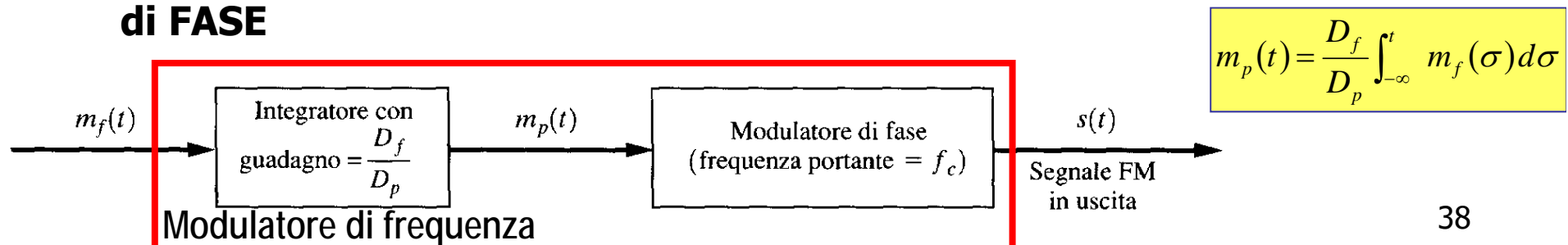
Generazione di un segnale PM utilizzando un modulatore FM

- È possibile ottenere un modulatore di FASE da un modulatore di FREQUENZA



Generazione di un segnale PM utilizzando un modulatore FM

- È possibile ottenere un modulatore di FREQUENZA da un modulatore di FASE





Frequenza istantanea

Per un segnale modulato angolarmente possiamo scrivere:

$$s(t) = A_c \cos[2\pi f_c t + \theta(t)] = A_c \cos \psi(t)$$

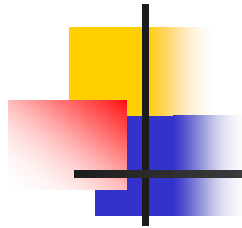
- **Fase istantanea** di un segnale modulato: fase presente in un particolare istante

$$\psi(t) = 2\pi f_c t + \theta(t)$$

Definiamo:

$$f_i(t) = \frac{1}{2\pi} \frac{d}{dt} \psi(t) \quad \longrightarrow \quad f_i(t) = f_c + \frac{1}{2\pi} \frac{d}{dt} \theta(t)$$

- **Frequenza istantanea** di un segnale modulato: frequenza presente in un particolare istante



Deviazione di frequenza

$$f_i(t) = f_c + \frac{1}{2\pi} \frac{d}{dt} \theta(t)$$

Deviazione di frequenza dalla frequenza portante

$$f_d(t) = f_i(t) - f_c = \frac{1}{2\pi} \left[\frac{d}{dt} \theta(t) \right]$$

Deviazione di frequenza di picco

$$\Delta F = \max \left\{ \frac{1}{2\pi} \left[\frac{d}{dt} \theta(t) \right] \right\}$$

Deviazione di frequenza picco-picco

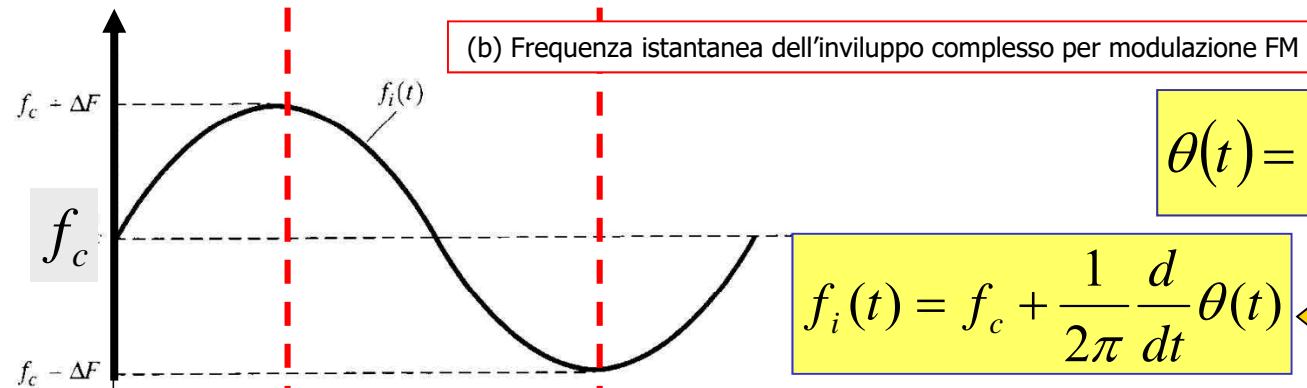
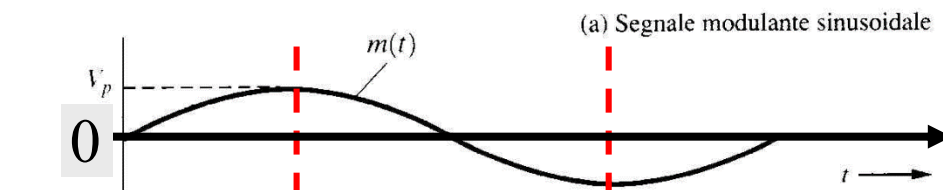
$$\Delta F_{pp} = \max \left\{ \frac{1}{2\pi} \left[\frac{d}{dt} \theta(t) \right] \right\} - \min \left\{ \frac{1}{2\pi} \left[\frac{d}{dt} \theta(t) \right] \right\}$$

- Per un segnale FM:

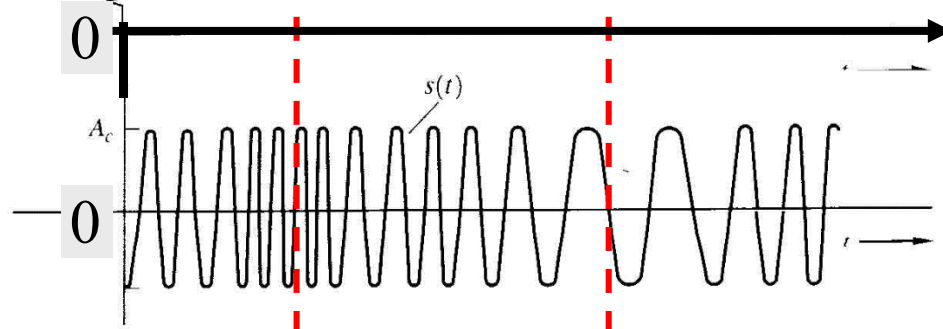
$$\Delta F = \frac{1}{2\pi} D_f V_p$$

dove: $V_p = \max\{m(t)\}$

Segnale FM di un segnale modulante sinusoidale



$$\theta(t) = D_f \int_{-\infty}^t m(\sigma) d\sigma$$



ESERCIZIO PER CASA:
Fare un grafico analogo
per la modulazione di fase

Analisi della modulazione di frequenza

$$\Delta F = \frac{1}{2\pi} D_f V_p$$

Se aumenta l'ampiezza del segnale modulante, V_p



Aumento della deviazione, ΔF



Aumento della banda del segnale FM



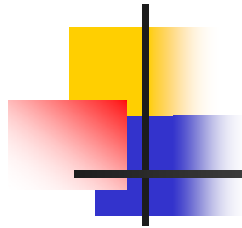
La potenza media rimane però costante, e pari a

$$P = \frac{A_c^2}{2}$$

Aumentando V_p , le componenti spettrali vicino alla frequenza portante decrescono in ampiezza

Cominciano a comparire frequenze sempre più lontane

Nota: comportamento differente da quello della modulazione AM, dove il segnale modulante influenza la potenza del segnale modulato, ma non la banda



Deviazione di fase

$$\theta(t) = D_p m(t)$$

- **Definizione:**

- **Fase istantanea** di un segnale modulato: fase presente in un particolare istante $\psi(t) = 2\pi f_c t + \theta(t)$
- **Fase istantanea** di un segnale modulato in assenza di segnale modulante $\psi(t) = 2\pi f_c t$

Deviazione di fase rispetto alla fase nulla

$$\theta(t)$$

Deviazione di fase di picco

$$\Delta\theta = \max\{\theta(t)\}$$

- Per un segnale PM:

$$\Delta\theta = D_p V_p$$

dove: $V_p = \max\{m(t)\}$



Indici di modulazione angolare

- Definizione:

- Indice di modulazione di fase: $\beta_p = \Delta\theta$

- Indice di modulazione di frequenza:

$$\beta_f = \frac{\Delta F}{B}$$

dove:

B : banda del segnale modulante

ΔF : deviazione di frequenza di picco



Spettro dei segnali modulati d'angolo

- **Spettro:**

$$S(f) = \frac{1}{2} [G(f - f_c) + G^*(-f - f_c)] \quad \text{dove: } G(f) = \mathfrak{F}\{g(t)\} = \mathfrak{F}\{A_c e^{j\theta(t)}\}$$

- Per i segnali modulati d'angolo, $g(t)$ è una funzione non lineare di $m(t)$



- Non esiste una formula semplice e generale che mette in relazione $G(f)$ e $M(f)$, come per l'AM
- La teoria dipende dal particolare tipo di segnale
- Non vale il principio di sovrapposizione: lo spettro FM relativo alla somma di due segnali NON È uguale alla somma dei due spettri



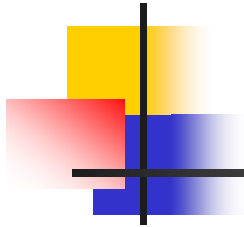
Regola di Carson per il calcolo della banda

- **IN GENERALE, per tutte le modulazioni d'angolo:**
 - La banda di un segnale modulato d'angolo dipende da β e da f_m .
- **Regola di Carson:**
 - Il 98% della potenza totale è contenuta nella banda:

$$B_T = 2(\beta + 1)B$$

dove:

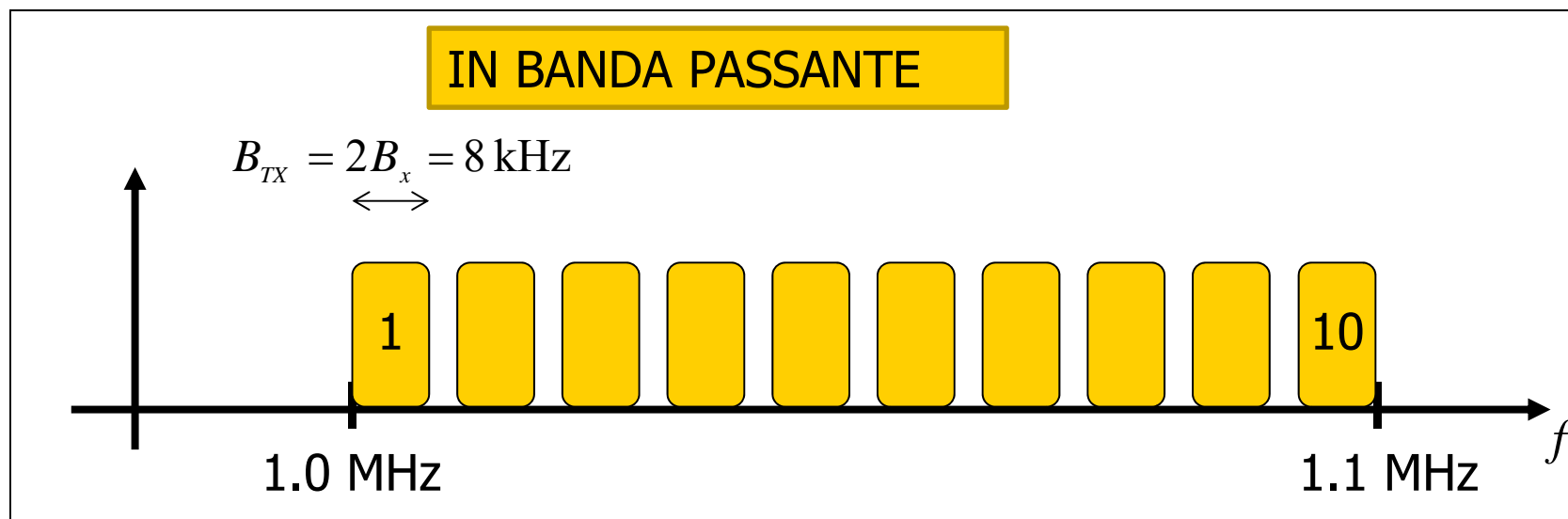
- β : indice di modulazione di fase o quello di frequenza
- B : banda del segnale modulante
- Fornisce un'indicazione di massima per valutare la banda di un segnale PM o FM (con modulante anche non sinusoidale, purché a banda limitata)

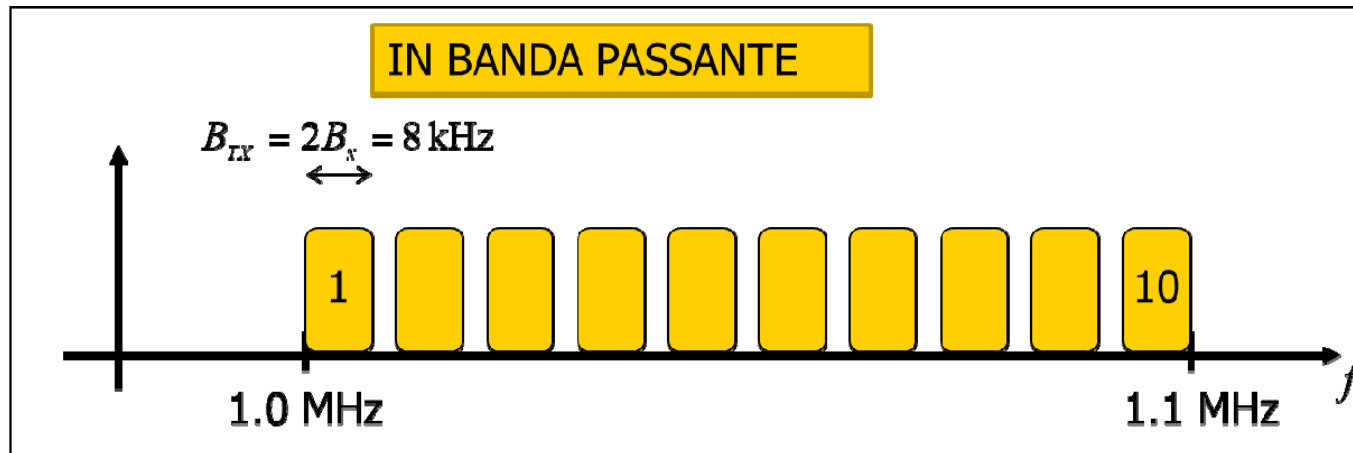


ESERCIZI

Esercizio 11: Modulazione AM e multiplazione di frequenza

Si consideri un gruppo di $N=10$ segnali modulanti in banda base $x_i(t)$, statisticamente indipendenti tra loro e aventi banda $B_x = 4$ kHz. Ciascun segnale viene modulato AM-DSB-SC attorno ad una frequenza f_i . Sapendo che sul canale di trasmissione è disponibile una banda limitata all'intervallo $[1\text{MHz}, 1.1\text{MHz}]$ stabilire una allocazione delle frequenze f_i che consenta di separare correttamente gli N segnali in ricezione. Quanto vale il risultante intervallo di guardia in frequenza tra i canali?





Frequenza Prima portante: $f_1 = 1 \text{ MHz} + 4 \text{ kHz} = 1.004 \text{ MHz}$

Le frequenze delle altre portanti: $f_i = f_1 + (i-1)(8 \text{ kHz} + B_G)$

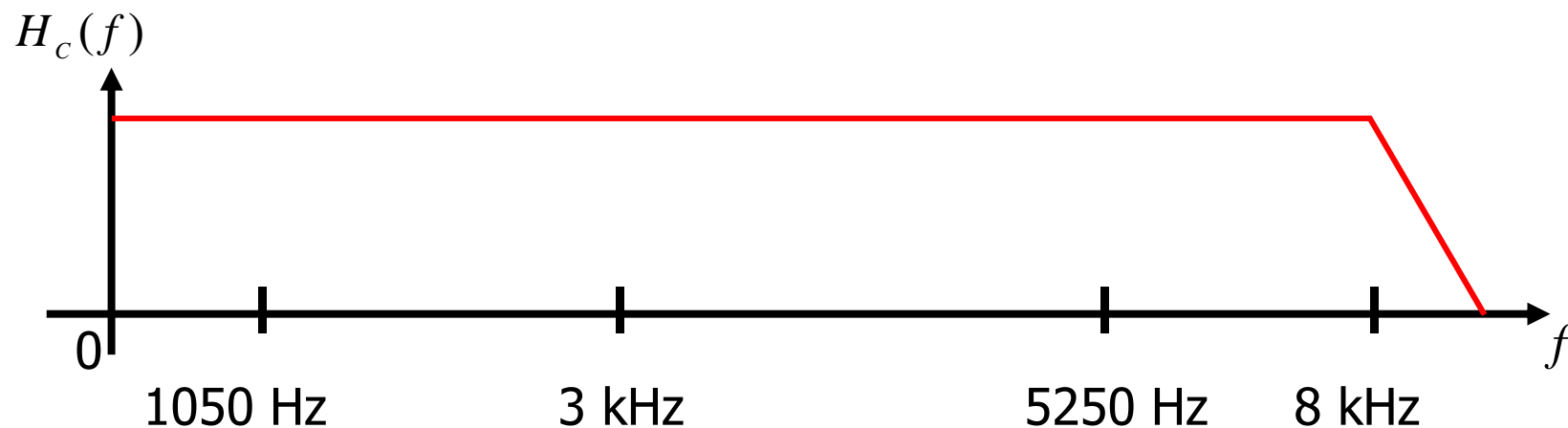
Banda di guardia:

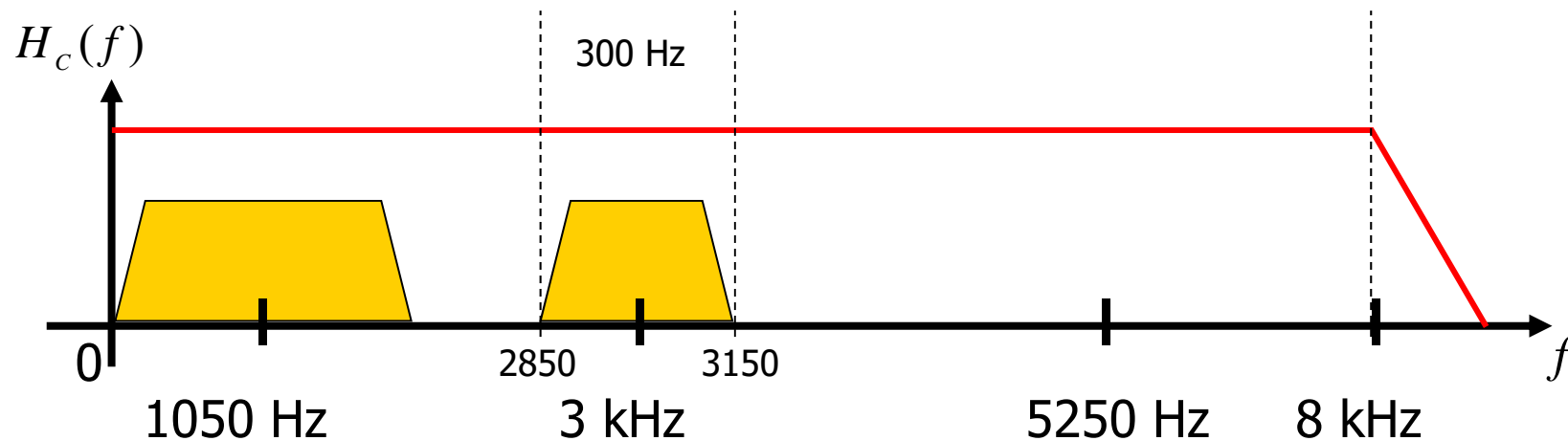
$$B_G = \frac{\text{Intero intervallo} - \text{intervallo occupato dai 10 canali}}{\text{numero di bande di guardia}} =$$

$$= \frac{100 \text{ kHz} - 80 \text{ kHz}}{9} = 2.2 \text{ kHz}$$

Siano date 3 trasmissioni in modulazione di frequenza (FM), con portante rispettivamente a 1050 Hz, 3 kHz, 5250 Hz su un canale che si comporta come un filtro passa-basso con frequenza di taglio $B_c = 8$ kHz. La seconda onda, centrata a 3 kHz, modula con $\beta_2 = 0.5$ un segnale con banda di 100 Hz. Gli altri segnali FM, invece, portano una modulante con banda di 300 Hz. Supponendo la modulante sinusoidale:

1. calcolare l'intervallo di frequenze occupate dal secondo segnale;
2. progettare il valore di β_1 da utilizzare affinché il primo segnale modulato abbia banda massima, ma tale da non sovrapporsi al secondo segnale;
3. progettare il valore di β_3 da utilizzare affinché il terzo segnale modulato abbia banda massima, ma tale da non sovrapporsi al secondo segnale, e tale che il terzo segnale non invada frequenze superiori a B_c ;
4. calcolare le ampiezze delle tre portanti affinché la potenza di ciascun segnale FM non superi il valore di 1 W;





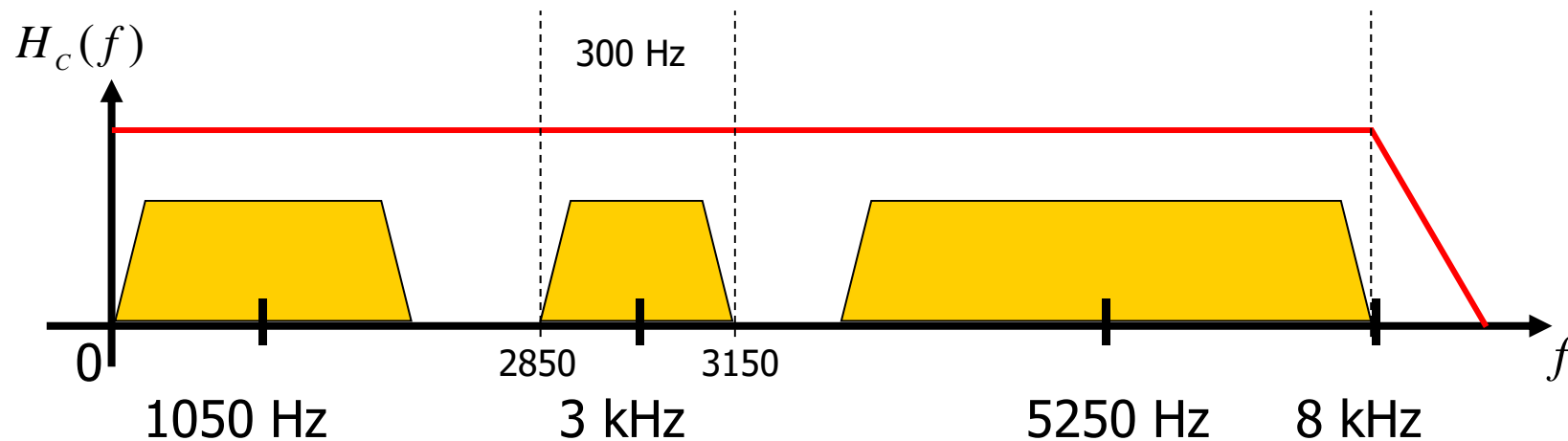
1) Per non avere sovrapposizione bisogna calcolare la banda del secondo segnale. Secondo l'approssimazione di Carson:

$$B_2 = 2(\beta_2 + 1)f_m = 2(0.5 + 1)100 = 300 \text{ Hz}$$

Dunque il secondo segnale si estende nell'intervallo: $[2.85, 3.15]$ kHz $\{3 - 0.15 = 2.85 \text{ kHz e } 3 + 0.15 = 3.15 \text{ kHz}\}$.

2) Il primo segnale (per non sovrapporsi) potrà occupare da 1050 Hz a 2.85 kHz = 1800 Hz (in alto), e altrettanto in basso. Tuttavia in basso ha solo a disposizione 1050 Hz. Quindi dovrà occupare una banda di 1050 Hz sia verso il basso, che verso l'alto. Dunque:

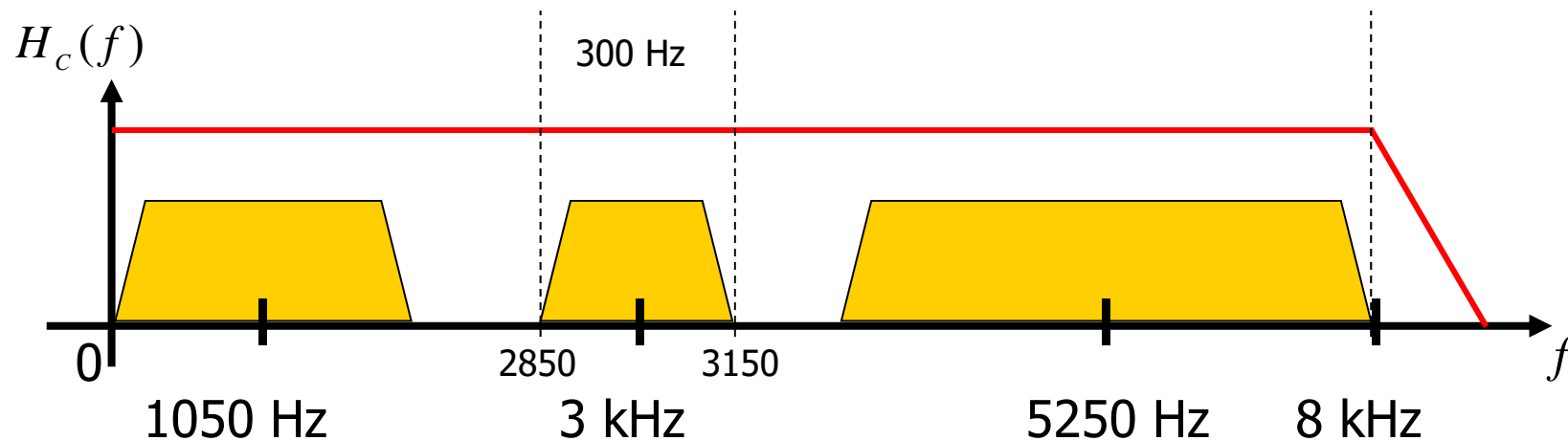
$$B_1 = 2 \cdot 1050 = 2(\beta_1 + 1)300 \text{ Hz} \Rightarrow \beta_1 = 2.5$$



3) Per il terzo segnale abbiamo 2 vincoli. La non sovrapposizione con il secondo richiede che la banda occupata non scenda da 5250 oltre 3150 Hz, cioè non occupi più di 2100 Hz in basso e 2100 Hz in alto. In questo caso:

$$B_3 = 2 \cdot 2100 = 2(\beta_3 + 1)300 \text{ Hz} \Rightarrow \beta_3 = 6$$

Con queste scelte, è necessario un canale con massima frequenza passante $5250 + 2100 = 7350 \text{ Hz}$. Dato che il canale ha $B_c = 8 \text{ kHz}$, il β_3 calcolato soddisfa anche la condizione che il segnale modulato non invada frequenze esterne a quelle disponibili.



4) Per quanto riguarda la potenza, ogni segnale FM trasporta un valore di potenza indipendente dall'indice di modulazione. In particolare:

$$P_{FM} = \frac{A^2}{2}$$

ove $A = A_c$ è l'ampiezza della portante.

ove A è l'ampiezza della portante.

Perciò, dato che ogni segnale non può portare più di 1 W, si avrà:

$$P_{FM_1} = P_{FM_2} = P_{FM_3} = 1 = \frac{A^2}{2} \quad \Rightarrow \quad A = \sqrt{2} \text{ V}$$